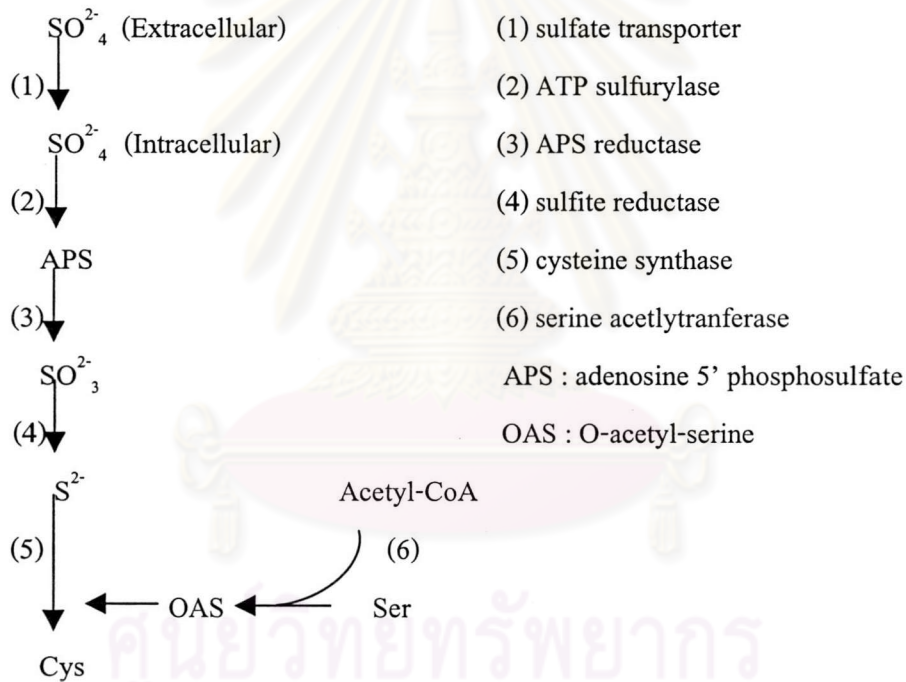


## บทที่ 2

### วารสารปริทัศน์

พืชสามารถสังเคราะห์สารอินทรีย์ที่มีกำมะถันเป็นองค์ประกอบจากซัลเฟตที่ดูดซับได้จากภายนอกเซลล์ โดยพืชนำซัลเฟตจากภายนอกเซลล์ที่ได้มาสังเคราะห์เป็นกรดอะมิโนซิสเตอีน จากนั้นกรดอะมิโนซิสเตอีนจึงจะถูกเปลี่ยนไปเป็นกรดอะมิโนชนิดอื่นที่มีกำมะถันเป็นองค์ประกอบคือเมไทโอนีน และสารเมตาโบไลต์อื่นๆ ต่อไป เช่น กลูตาไธโอน เป็นต้น

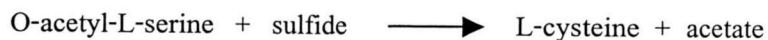
วิธีการนำซัลเฟตมาสังเคราะห์เป็นกรดอะมิโนซิสเตอีนในพืช ดังแสดงในภาพที่ 2.1



ภาพที่ 2.1 วิธีการนำซัลเฟตมาสังเคราะห์เป็นกรดอะมิโนซิสเตอีนและเอนไซม์ควบคุมการทำงานแต่ละขั้นตอนในพืช (Saito, 2000)

ซิสเตอีนซินเทส (cysteine synthase) หรือโอ-อะซิติล-แอล-เซอริน (ไรออล)-ไลเอส (O-acetyl-L-serine (thiol) lyase) หรือ โอ-อะซิติล-แอล-เซอรินอะซิเตท-ไลเอส (O-acetyl-L-serine acetate-lyase) หรือ โอ-อะซิติลเซอริน ซัลไฮโดรเลส (O-acetylserine sulhydrylase) เป็นเอนไซม์สุดท้ายของกระบวนการสังเคราะห์กรดอะมิโนซิสเตอีน ทำหน้าที่เร่งปฏิกิริยาการสังเคราะห์กรดอะมิโนซิสเตอีนจากโอ-อะซิติลเซอรินและสารประกอบซัลไฟด์ ดังสมการ

## cysteine synthase



ซิสเตอีนซินเตสมีลักษณะเป็นโฮโมไดเมอร์ (homodimer) ขนาด 60-70 กิโลดาลตัน มีไพริดอกซอล 5'-ฟอสเฟต (pyridoxal 5'- phosphate) เป็นโคแฟกเตอร์ (cofactor) ซิสเตอีนซินเตสเป็นเอนไซม์ที่พบได้ทั้งในส่วนของพืชที่มีสีเขียว เช่น ใบ ลำต้น และในส่วนของพืชที่ไม่มีสีเขียว เช่น ราก ดอก นอกจากนี้ยังมีหลายไอโซฟอร์ม (Youssefian และคณะ, 1993)

Lunn และคณะ (1990) รายงานว่า *Spinacia oleracea* L. มีซิสเตอีนซินเตส 3 ไอโซฟอร์ม คือ CSaseA , CSaseB , CSaseC อยู่ในไซโตพลาสซึม คลอโรพลาสต์ และไมโทคอนเดรีย ตามลำดับ Saito และคณะ(1992) สามารถโคลนคอมพลิเมนต์ารีดีเอ็นเอ (cDNA) ซึ่งประมวลรหัส CSaseA และรายงานว่ CSaseA แปลรหัสเป็นกรดอะมิโนได้ 325 ตัว ถอดรหัสที่ใบและราก Saito และคณะ (1993) สามารถโคลนคอมพลิเมนต์ารีดีเอ็นเอซึ่งประมวลรหัส CSaseB และรายงานว่ CSaseB แปลรหัสเป็นกรดอะมิโนได้ 383 ตัว เป็นกรดอะมิโนที่เป็นทรานซิติเปปไทด์ (transit peptide) 52 ตัว ถอดรหัสที่ใบ Saito และคณะ (1994a) สามารถโคลนคอมพลิเมนต์ารีดีเอ็นเอซึ่งประมวลรหัส CSaseC และรายงานว่ CSaseC แปลรหัสเป็นกรดอะมิโนได้ 368 ตัว เป็นกรดอะมิโนที่เป็นทรานซิติเปปไทด์ 30-40 ตัว ถอดรหัสในส่วนของพืชที่มีสีเขียวและในต้นอ่อนที่เจริญโดยไม่ได้รับแสง

Saito และคณะ (1997) รายงานว่ซิสเตอีนซินเตสทั้ง 3 ไอโซฟอร์มของ *S. oleracea* L. มีลำดับกรดอะมิโนคล้ายกัน (homology) 60-75 % ตำแหน่งกรดอะมิโนไลซีน (lysine) ที่บริเวณขีดเกาะของโคแฟกเตอร์ไพริดอกซอล 5'- ฟอสเฟตมีความเป็นอนุรักษ์สูง CSaseA ไม่มีทรานซิติเปปไทด์ CSaseA และCSaseC ถอดรหัสทั้งในส่วนของพืชที่มีสีเขียวและในส่วนของพืชที่ไม่มีสีเขียวแต่ CSaseB ถอดรหัสเฉพาะในส่วนของพืชที่มีสีเขียวนอกจากนั้น Saito และคณะ (1997) พบว่ mRNA ของ CSaseA , CSaseB เพิ่มขึ้น 1.5 เท่าภายใน 24 ชั่วโมงในภาวะที่ขาดแคลนกำมะถันและไนโตรเจน และพบว่า mRNA ของ CSaseC เพิ่มขึ้น 5 เท่าภายในเวลา 24 ชั่วโมงในภาวะที่ขาดแคลนไนโตรเจนหรือภาวะขาดแคลนไนโตรเจนร่วมกับกำมะถัน

Saito และคณะ (1992) รายงานการตัดแยกและลักษณะของคอมพลิเมนต์ารีดีเอ็นเอที่ประมวลรหัสซิสเตอีนซินเตสของต้นผักขม (*Spinacia oleracea* L.) โดยนำสายเปปไทด์ที่แปลรหัสยีนซิสเตอีนซินเตสมาตัดด้วย V8 protease ซึ่งได้มาจาก *Staphylococcus aureus* เพื่อหาลำดับกรด

อะมิโน จากข้อมูลลำดับกรดอะมิโนที่ได้นำมาสังเคราะห์โพลิโกลเปปไทด์ 2 เส้น เรียก V812 และ V822 เพื่อใช้เป็นตัวติดตามตรวจสอบห้องสมุดคอมพลีเมนทารีดีเอ็นเอชนิด  $\lambda$ gt10 ( $\lambda$ gt10 library) ซึ่งได้มาจากอาร์เอ็นเอที่แยกได้จากใบอ่อนของต้นผักขม จำนวน  $2 \times 10^5$  โคลน พบว่าเพียง 19 โคลนที่สามารถให้สัญญาณไฮบริดเซชันกับ V812 และ V822 คัดเลือก 2 โคลนจาก 19 โคลนที่ได้มาศึกษาลักษณะต่างๆ ของยีน พบว่าทั้ง 2 โคลน สามารถแปลรหัสเป็นกรดอะมิโนได้ 325 ตัว ขนาด 34 กิโลดาลตัน ลำดับกรดอะมิโนมีความเหมือนกับซิสเตอีนซินเตสของ *Escherichia coli* และ *Salmonella typhimurium* 53% คอมพลีเมนทารีดีเอ็นเอแสดงออกใน *E. coli* ที่ไม่มีซิสเตอีนซินเตส ผลการศึกษาโดยวิธี immuno blotting และวิธีการหากิจกรรมของซิสเตอีนซินเตสพบว่ามี การสะสมของซิสเตอีนซินเตสในรูปที่สามารถทำงานได้ใน *E. coli* การศึกษาโดยวิธี Southern hybridization พบว่าในต้นผักขมนี้มีจำนวนชุดของยีนเท่ากับ 2-3 ชุด และการศึกษาโดยวิธี RNA hybridization พบว่าเอนไซม์นี้แสดงออกที่ใบและที่ราก

Saito และคณะ (1994b) ได้สร้างพลาสมิด 3 ชนิด ซึ่งบริเวณ T-DNA มียีนประมวลรหัส ซิสเตอีนซินเตส (CSase A) ชนิดที่อยู่ในไซโตพลาสซึมจากคอมพลีเมนทารีดีเอ็นเอของต้นผักขม (*Spinacia oleracea*) ซึ่งลักษณะต่างกัน ดังนี้ พลาสมิด pCSK3F ทิศทางการเรียงตัวของยีนประมวล รหัสซิสเตอีนซินเตสและของโปรโมเตอร์ชนิด Cauliflower mosaic virus (CaMV) 35S RNA เหมือนกัน พลาสมิด pCSK3R ทิศทางการเรียงตัวของยีนประมวลรหัสซิสเตอีนซินเตสตรงข้ามกับ ของโปรโมเตอร์ชนิด CaMV 35S พลาสมิด pCSK4F ยีนประมวลรหัสซิสเตอีนซินเตสเชื่อมต่อกับทรานสคริปต์เปปไทด์ที่แสดงออกในคลอโรพลาสต์ ซึ่งได้มาจากหน่วยย่อยของ ribulose-1,5-bisphosphate carboxylase (RUBISCO) ในต้นถั่ว ทิศทางการเรียงตัวของยีนไปทางเดียวกับโปรโมเตอร์ชนิด CaMV 35S ทำการถ่ายโอนรีคอมบิแนนท์พลาสมิด ทั้ง 3 ชนิดเข้าต้นยาสูบ โดยวิธีการใช้ *Agrobacterium* ผลการวิเคราะห์กิจกรรมของเอนไซม์ในสารสกัดจากเซลล์ พบว่าต้นยาสูบที่มี พลาสมิด pCSK3F และ pCSK4F มีกิจกรรมของซิสเตอีนซินเตสมากกว่าต้นยาสูบพันธุ์เดิม และต้นยาสูบที่มีพลาสมิด pCSK3R 2-3 เท่า ต้นยาสูบที่มีพลาสมิด pCSK4F มีกิจกรรมของซิสเตอีนซินเตสในคลอโรพลาสต์มากกว่าต้นยาสูบพันธุ์เดิม และต้นยาสูบที่มีพลาสมิด pCSK3F หลาย เท่า แสดงว่าซิสเตอีนซินเตสได้ถูกขนส่งและไปสะสมในรูปที่สามารถทำงานได้ในคลอโรพลาสต์ เมื่อเติมโอ-อะซีติล-แอล-เซอรินและสารประกอบซัลเฟอร์ ที่คลอโรพลาสต์ของต้นยาสูบที่มีพลาสมิด pCSK4F มีการสังเคราะห์กรดอะมิโนซิสเตอีนได้มากกว่าที่คลอโรพลาสต์ของต้นยาสูบพันธุ์เดิม ทั้งนี้เป็นเพราะกระบวนการ photoreduction ซัลไฟต์ของพืชเกิดที่คลอโรพลาสต์ การศึกษาเปรียบเทียบความสามารถในการทนต่อสารพิษของต้นยาสูบ โดยการนำชิ้นส่วนใบ (leaf discs) ของต้นยาสูบพันธุ์เดิมและต้นยาสูบทรานสฟอร์มเม้นท์มาเลี้ยงในอาหารที่มีการเติมสารประกอบซัลเฟอร์ชนิดต่างๆ พบว่าต้นยาสูบที่มีพลาสมิด pCSK4F สามารถทนต่อความเป็นพิษ

ของซัลไฟต์ได้สูงขึ้นและสามารถสังเคราะห์กรดอะมิโนซิสเทอีนได้มากขึ้นด้วย แสดงว่าต้นยาสูบที่มีพลาสมิด pCSK4F สามารถลดความเป็นพิษของซัลไฟต์ได้ โดยนำซัลไฟต์ไปเป็นสับสเตรทในกระบวนการสังเคราะห์กรดอะมิโนซิสเทอีน

Noji และคณะ (2001) ได้ทำการผสมต้นยาสูบข้ามสายพันธุ์ (Cross – fertilization) ระหว่างต้นยาสูบซึ่งมีคอมพลิเมนต์อาร์ดีเอ็นเอของต้นผักขม ที่แปลรหัสเป็นซิสเทอีนซินเตสในส่วนไซโตพลาสซึม (Saito และคณะ, 1992) และต้นยาสูบซึ่งมียีนประมวลรหัสซิสเทอีนซินเตสจากต้นผักขมเชื่อมต่อกับทรานสคริปต์ที่แสดงออกในคลอโรพลาสต์จากหน่วยย่อยของ ribose –1,5-bisphosphate carboxylase (RUBISCO) ของต้นถั่ว (Saito และคณะ, 1994) พบว่า F1 มีความสามารถในการทนต่อความเป็นพิษของซัลเฟอร์ไดออกไซด์และซัลไฟต์สูงขึ้น การทดลองรวมด้วยก๊าซซัลเฟอร์ไดออกไซด์ 0.1 ไมโครลิตรต่อลิตร ทำให้มีปริมาณกรดอะมิโนซิสเทอีน และกลูตาไรโอนซึ่งเป็นสารเมตาโบไลต์ในใบของ F1 เพิ่มขึ้นอย่างมีนัยสำคัญทางสถิติ ผลการตรวจหากิจกรรมของซิสเทอีนซินเตส ของ F1 พบว่าสูงกว่าของต้นยาสูบพันธุ์เดิมประมาณ 5 เท่า โดยกิจกรรมของซิสเทอีนซินเตสที่เพิ่มขึ้นนี้ เพิ่มขึ้นในส่วนของไซโตพลาสซึมและคลอโรพลาสต์

Hesse และคณะ (1997) โคลนคอมพลิเมนต์อาร์ดีเอ็นเอซึ่งประมวลรหัสซิสเทอีนซินเตสทั้ง 3 ไอโซฟอร์มของ *Arabidopsis thaliana* คือ ASL-A , ASL-B และ ASL-C ซึ่งเป็นซิสเทอีนซินเตสในไซโตพลาสซึม คลอโรพลาสต์ และไมโทคอนเดรีย ตามลำดับ และรายงานว่ายีน *ASL-A* ยาว 1,275 เบส แปลรหัสเป็นกรดอะมิโน 324 ตัว ยีน *ASL-B* ยาว 1,421 เบส แปลรหัสเป็นกรดอะมิโน 392 ตัว ยีน *ASL-C* ยาว 1,569 เบส แปลรหัสเป็นกรดอะมิโน 430 ตัว ยีนทั้ง 3 นี้ถอดรหัสอย่างจำเพาะที่ส่วนต่างๆของพืช ยีน *ASL-A* ถอดรหัสที่ใบและราก ยีน *ASL-B* ถอดรหัสที่ใบ ยีน *ASL-C* ถอดรหัสทั้งที่ใบและราก แต่ถอดรหัสที่รากมากกว่าที่ใบ

Yamaguchi และคณะ (1999) รายงานว่าการนำซัลเฟตมาใช้ในกระบวนการ sulfate assimilation ของ *A. thaliana* ถูกควบคุมในระดับของการถอดรหัสโดยภาวะขาดแคลนกำมะถัน ปริมาณ mRNA ซึ่งถอดรหัสจากยีนประมวลรหัสซิสเทอีนซินเตสไอโซฟอร์มคลอโรพลาสต์จะคงที่ถ้าได้รับแสง แต่จะเพิ่มขึ้นเล็กน้อยในที่มืด ปริมาณ mRNA ซึ่งถอดรหัสจากยีนประมวลรหัสซิสเทอีนซินเตสไอโซฟอร์มไซโตพลาสซึมจะเพิ่มขึ้น 2.5 เท่าถ้าได้รับแสง และจะเพิ่มขึ้น 2 เท่าในที่มืด ขณะที่ภาวะขาดแคลนกำมะถันและการได้รับแสงหรือไม่ได้รับแสงไม่มีผลใดๆต่อปริมาณ mRNA ซึ่งถอดรหัสจากยีนประมวลรหัสซิสเทอีนซินเตสไอโซฟอร์มไมโทคอนเดรีย นอกจากนั้นคณะผู้วิจัยยังรายงานว่า การตอบสนองของยีนประมวลรหัสซิสเทอีนซินเตสต่อภาวะขาดแคลนกำมะถันจะเกิดเฉพาะในภาวะที่มีไนโตรเจนเท่านั้น ผลการวิจัยที่ได้สอดคล้องกับผลการวิจัยของ Reuveny และ

คณะ (1980) ที่รายงานว่ากระบวนการนำซัลเฟตมาใช้ในกระบวนการ sulfate assimilation และกระบวนการนำไนโตรเจนมาใช้ในกระบวนการ nitrate assimilation ของพืชนั้นเกี่ยวข้องกัน

Yamaguchi และคณะ (2000) ได้ทำการแยกคอมพลีเมนต์อาร์ดีเอ็นเอ 3 ชนิดคือ *AtcysC1* , *AtcysD1* และ *AtcysD2* ซึ่งเป็นยีนประมวลรหัสซิสเตอีนซินเตสของ *A. thaliana* ผลการวิเคราะห์โดยวิธี Southern hybridization พบว่าในจีโนมของ *A. thaliana* มียีนเหล่านี้อย่างละ 1 ชุด หรือมากที่สุดเพียง 2 ชุด ผลการศึกษา complementation analysis ใน *E. coli* ยืนยันว่ายีนทั้ง 3 นี้ ประมวลรหัสซิสเตอีนซินเตสและโปรตีนซึ่งแปลรหัสจากยีนทั้ง 3 ใน *E. coli* มีกิจกรรมของซิสเตอีนซินเตส และพบว่า *AtcysC1* มีกิจกรรมของบีต้า-ไซยาโนอะลานินซินเตส ( $\beta$ -cyanoalanine synthase) ผลการศึกษา kinetic analysis พบว่า *AtcysC1* ทำหน้าที่เป็นบีต้า-ไซยาโนอะลานินซินเตสมากกว่าซิสเตอีนซินเตส ผลการวิเคราะห์ molecular phylogenetic ด้วยโปรแกรม Clustal X (Thompson และคณะ, 1994) พบว่า *AtcysD1* และ *AtcysD2* จัดอยู่ในกลุ่มไอโซฟอร์มที่พบในไซโตพลาสซึม ส่วน *AtcysC1* จัดอยู่ในกลุ่มไอโซฟอร์มที่พบในไมโทคอนเดรีย ผลการตรวจหา organ specificity ของกระบวนการถอดรหัสของแต่ละยีนพบว่า *AtcysC1* ถอดรหัสมากในใบที่เจริญเต็มที่ *AtcysD1* ถอดรหัสในดอกและ *AtcysD2* ถอดรหัสในส่วนใบและดอก และพบว่าการเพาะเลี้ยง *A. thaliana* ในสภาพที่ไม่มีแสงหรือในสภาวะที่ขาดสารอาหารไม่ทำให้การถอดรหัสของยีนทั้ง 3 เปลี่ยนแปลง

Youssefian และคณะ (1993) แยกคอมพลีเมนต์อาร์ดีเอ็นเอซึ่งแปลรหัสเป็นซิสเตอีนซินเตสของข้าวสาลี (*Triticum aestivum* L.) เรียกยีนที่แยกได้ว่ายีน *cys1* พบว่าลำดับกรดอะมิโนที่แปลรหัสจากยีน *cys1* เหมือนกับลำดับกรดอะมิโนของซิสเตอีนซินเตสของ *E. coli* และ *Salmonella typhimurium* 53% ยีน *cys1* แปลรหัสเป็นกรดอะมิโน 325 ตัว ซิสเตอีนซินเตสที่ได้ขนาด 34.1 กิโลดาลตัน มีไพรอคอกซอล 5' ฟอสเฟต เป็นโคแฟกเตอร์จัดเป็นกลุ่มที่พบในคลอโรพลาสต์ ยีน *cys1* สามารถแสดงออกใน *E. coli* สายพันธุ์กลายซึ่งยีนประมวลรหัสซิสเตอีนซินเตสไม่สามารถแสดงออก ผลการวิเคราะห์โดยวิธี Northern hybridization พบว่ายีน *cys1* แสดงออกมากในส่วนที่มีสีเขียวและเนื้อเยื่อที่เกี่ยวข้องกับการสืบพันธุ์ ใบ และราก ผลการวิเคราะห์โดยวิธี Southern hybridization พบว่ามียีน *cys1* จำนวน 1 ชุด ผลการศึกษาดันยาสูบที่มียีน *cys1* ซึ่งมีทิศทางการเรียงตัวของยีนในทิศทางเดียวกันกับโปรโมเตอร์ชนิด CaMV 35S และในทิศทางตรงกันข้ามกับโปรโมเตอร์ชนิด CaMV 35S พบว่าดันยาสูบที่มียีน *cys1* ซึ่งเรียงตัวในทิศทางเดียวกับโปรโมเตอร์ถอดรหัสในปริมาณสูง และมีกิจกรรมของซิสเตอีนซินเตสมากกว่าดันยาสูบพันธุ์เดิม 3 – 5 เท่า ในขณะที่ดันยาสูบที่มียีน *cys1* ซึ่งมีทิศทางการเรียงตัวของยีนตรงกันข้ามกับโปรโมเตอร์จะพบว่าปริมาณการถอดรหัสและกิจกรรมของซิสเตอีนซินเตสไม่แตกต่างจากดันยาสูบพันธุ์เดิม ผลการทดลองรวม

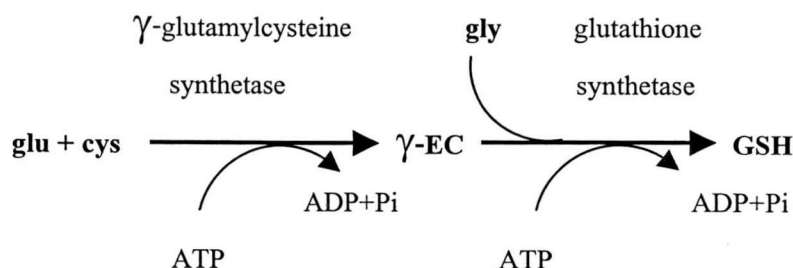
ด้วยก๊าซซัลเฟอร์ไดออกไซด์ด้วยปริมาณที่มีความเป็นพิษต่อต้านยาสูบ พบว่าต้นยาสูบที่มียีน *cys1* ที่มีทิศทางการเรียงตัวไปทางเดียวกับ โปรโมเตอร์สามารถทนได้แต่ต้นยาสูบพันธุ์เดิม และต้นยาสูบที่มียีน *cys1* ซึ่งมีทิศทางการเรียงตัวตรงกันข้ามกับ โปรโมเตอร์ไม่สามารถทนได้

Nakamura และคณะ (1999) โคลนคอมพลิเมนทารีดีเอ็นเอ ซึ่งเป็นรหัสของซิสเตอีนซินเตส 4 ไอโซฟอร์มจากข้าวชนิด *Oryza sativa* cv. Nipponbare คือ *rsc1*, *rsc2*, *rsc3* และ *rsc4* จากลำดับกรดอะมิโนที่ทำนายจากลำดับนิวคลีโอไทด์ พบบริเวณอนุรักษ์คือ PXXSVKDR ซึ่งเป็นลำดับกรดอะมิโนเฉพาะของซิสเตอีนซินเตส โดยกลุ่ม  $\epsilon$  amine ของไลซีนตำแหน่งที่ 6 ในบริเวณอนุรักษ์ดังกล่าวข้างต้นสามารถสร้างพันธะ imine กับกลุ่มแอลดีไฮด์ของ ไพริดอกซอล 5'- ฟอสเฟตซึ่งเป็นโคแฟกเตอร์นำไปสู่ปฏิกิริยาการสังเคราะห์กรดอะมิโนซิสเตอีนจากโอ-อะซิติลเซอรินและสารประกอบซัลไฟด์ ผลการวิเคราะห์ Molecular phylogenic พบว่า RCS1 และ RCS3 จัดอยู่ในกลุ่มไอโซฟอร์มที่พบในไซโตพลาสซึม ส่วน RCS2 และ RCS4 มีทรานสคริปต์ชนิดใหม่ที่แตกต่างกันจากทรานสคริปต์สำหรับไอโซฟอร์มที่พบในคลอโรพลาสต์หรือไมโทคอนเดรีย ดังนั้น Nakamura และคณะ (1999) เสนอว่า RCS2 และ RCS4 อาจเป็นไอโซฟอร์มกลุ่มใหม่ ผลการตรวจหา organ specificity ของกระบวนการถอดรหัสของแต่ละยีน และการตอบสนองต่อการขาดแคลนกำมะถัน ในโตรเจน และแสง พบว่ายีน *rsc1* ถอดรหัสในทุกส่วนของต้นข้าว การถอดรหัสของยีน *rsc1* ทั้งที่ต้นและรากถูกเหนี่ยวนำได้โดยภาวะการขาดกำมะถันแต่มีในโตรเจน ยีน *rsc2* ถอดรหัสที่ต้นเฉพาะเมื่อเจริญในที่ที่มีแสงเท่านั้น ยีน *rsc3* ถอดรหัสที่รากได้มากกว่าที่ต้น การถอดรหัสจะลดลงในที่มืด ในภาวะที่ขาดกำมะถันร่วมกับในโตรเจน แทบจะไม่พบการถอดรหัสของยีน *rsc4* ในทุกส่วนของต้นข้าว ผลการทดลองที่ได้แสดงว่ายีนเหล่านี้ประมวลรหัสซิสเตอีนซินเตสต่างไอโซฟอร์ม และต่างถูกควบคุมโดยปริมาณกำมะถัน ในโตรเจน และแสง

Urano และคณะ (2000) รายงานผลการโคลนคอมพลิเมนทารีดีเอ็นเอ ซึ่งประมวลรหัส เซอรินอะซิติลทรานเฟอร์ส และซิสเตอีนซินเตส จากต้น *Allium tuberosum* (Chinese chive) ซึ่งพืชในสกุล *Allium* นี้มีความสามารถในการสะสมสารเมตาโบไลต์ซึ่งมีสารประกอบซัลเฟอร์ที่สังเคราะห์มาจากกรดอะมิโนซิสเตอีนในปริมาณสูง คอมพลิเมนทารีดีเอ็นเอซึ่งประมวลรหัส เซอรินอะซิติลทรานเฟอร์สแปลรหัสเป็นกรดอะมิโนได้ 289 ตัว สามารถแสดงออกใน *E. coli* สายพันธุ์กลายซึ่งยีน *cysE* ซึ่งประมวลรหัส เซอรินอะซิติลทรานเฟอร์สไม่สามารถแสดงออก ส่วนคอมพลิเมนทารีดีเอ็นเอซึ่งประมวลรหัสซิสเตอีนซินเตสแปลรหัสเป็นกรดอะมิโนได้ 325 ตัว สามารถแสดงออกใน *E. coli* สายพันธุ์กลายที่ยีนประมวลรหัสซิสเตอีนซินเตสไม่สามารถแสดงออก โดยทำให้ *E. coli* สายพันธุ์กลายข้างต้นสามารถเจริญบนอาหารที่ไม่เติมกรดอะมิโนซิสเตอีนได้ จากข้อมูลลำดับกรดอะมิโนที่ทำนายจากลำดับนิวคลีโอไทด์ของคอมพลิเมนทารีดีเอ็นเอพบว่าเป็นไอ-

ไซฟอร์มที่อยู่ในไซโตพลาสซึม ผลการวิเคราะห์โดยวิธี Northern hybridization พบว่ายีนทั้งคู่ถอดรหัสในปริมาณที่เกือบเท่ากันในใบ ราก และต้นกล้าของ *A. tuberosum* กิจกรรมของเซอร์ริโนอะซิติลทรานเฟอร์สซึ่งแปลรหัสจากคอมพลีเมนทารีดีเอ็นเอที่โคลนได้ถูกยับยั้งโดย แอล-ซิสเตอีน แต่ความไวต่ำเมื่อเปรียบเทียบกับพืชอื่น ๆ ที่เคยมีผู้รายงานไว้ กล่าวคือ แอล-ซิสเตอีน 48.7 ไมโครโมลาร์ จึงจะสามารถยับยั้ง 50 % ของกิจกรรมของเซอร์ริโนอะซิติลทรานเฟอร์สของ *A. tuberosum* ( $IC_{50}$  เท่ากับ 48.7 ไมโครโมลาร์) ในขณะที่พืชชนิดอื่น ๆ มีค่า  $IC_{50}$  ประมาณ 5 ไมโครโมลาร์เท่านั้น กิจกรรมของซิสเตอีนซินเทสไม่ถูกยับยั้งโดยกรดอะมิโนซิสเตอีนแม้ว่าจะมีปริมาณกรดอะมิโนซิสเตอีนมากกว่า 100 ไมโครโมลาร์ ผู้วิจัยสรุปว่าการที่เซลล์ของ *A. tuberosum* มีปริมาณกรดอะมิโนซิสเตอีนมากกว่าในเซลล์ของ *A. thaliana* และต้นยาสูบหลายเท่านั้นเป็นเพราะเซอร์ริโนอะซิติลทรานเฟอร์สของ *A. tuberosum* มีความไวต่ำต่อการถูกยับยั้งกิจกรรมโดยกรดอะมิโนซิสเตอีน ปริมาณกลูตาไธโอนในเซลล์ของ *A. tuberosum* ไม่แตกต่างจากของ *A. thaliana* และต้นยาสูบ

กลูตาไธโอน (Glutathione) เป็นเปปไทด์ประกอบด้วยกรดอะมิโน 3 ชนิดคือกลูตามต-ซิสเตอีน-ไกลซีน ( $\gamma$ -L-glutamate -L-cysteine-L-glycine [GSH]) พบกลูตาไธโอนในเซลล์ของ พืช สัตว์ และแบคทีเรีย (Noctor และ Foyer, 1998) ปฏิกริยาการสังเคราะห์กลูตาไธโอนจากกลูตามต-ซิสเตอีน และไกลซีนมี 2 ขั้นตอนเป็นปฏิกริยาที่ขึ้นกับ ATP เร่งปฏิกริยาโดยแกมมา-กลูตามิโนซิสเตอีน (แกมมา-อีซี) ซินเทเตส ( $\gamma$ -glutamylcysteine ( $\gamma$ -EC) synthetase ( $\gamma$ -ECS : EC 6.3.2.2) และ กลูตาไธโอนซินเทเตส (glutathione synthetase (GS : EC 6.3.2.3)) ตามลำดับ ดังแสดงในภาพที่ 1.2 พืชสังเคราะห์กลูตาไธโอนในไซโตพลาสซึมและในคลอโรพลาสต์ (Greissen , 1999) การสังเคราะห์กลูตาไธโอนนั้น กลูตามตและซิสเตอีนได้มาจากกระบวนการ Nitrogen assimilation และ Sulfate assimilation ตามลำดับ ขณะที่ไกลซีนได้มาจากกระบวนการโฟโตเรสไพเรชัน (photorespiration) กลูตาไธโอนในพืชทำหน้าที่ป้องกันกลุ่ม sulhydryl ของเอนไซม์ที่ถูกออกซิไดส์ ทำหน้าที่เป็นตัวให้รีดิวซ์ซัลเฟอร์แก่สารอื่น และทำหน้าที่เป็นสับสเตรทของกลูตาไธโอน เอส-ทรานเฟอร์ส (GSH S-transferase) หรือเป็นสารตั้งต้น (precursor) ของกระบวนการสังเคราะห์ phytochelatins ปัจจุบันนี้มีความพยายามที่จะผลิตกลูตาไธโอนให้ได้ปริมาณมากเพื่อที่จะนำไปใช้ในด้านเภสัชกรรม เช่น ใช้เป็นสารต้านมะเร็ง (anti-carcinogenic agent) และใช้ในด้านอุตสาหกรรมอาหาร เป็นสารเพิ่มรสชาติ (flavor enhancer) (Noctor และ Foyer, 1998)



ภาพที่ 2.2 ปฏิกิริยาการสังเคราะห์กลูตาไธโอน (Noctor และ Foyer, 1996)

การปรับปรุงพันธุ์พืชโดยวิธีทางพันธุวิศวกรรมอาจทำได้โดยการถ่ายโอนยีนโดยตรงเช่นวิธีอิเล็กโทรพอไรซัน (electroporation) วิธีการใช้เข็มฉีด (Microinjection) หรือวิธีการใช้เครื่องยิง (Microprojectile bombardment) และทำการถ่ายโอนยีนโดยวิธีการใช้ *Agrobacterium* ซึ่งวิธีการใช้ *Agrobacterium* นี้ใช้ได้ผลดีกับพืชใบเลี้ยงคู่ (dicotyledons) และเป็นวิธีที่นิยมใช้มากที่สุด *Agrobacterium tumefaciens* เป็นแบคทีเรียแกรมลบอาศัยอยู่ในดิน สามารถเข้าสู่เซลล์พืชได้ทางบาดแผล ทำให้พืชมีลักษณะเป็นปุ่มปม เรียกว่า Crown gall disease (Sahi และคณะ, 1994) ทั้งนี้เพราะ *A. tumefaciens* สามารถถ่ายโอนยีนส่วน T-DNA จากพลาสมิดชนิดไบนารีเข้าสู่โครโมโซมของพืช ยีนส่วน T-DNA มียีนประมวลผลฮอร์โมนพืชชนิดออกซิน (auxins) และไซโตไคนิน (cytokinins) จึงทำให้เซลล์พืชแบ่งตัวรวดเร็วและไม่จำกัด เกิดเป็นปุ่มปมหรือก้อนเนื้อออก หลักการถ่ายโอนยีนเข้าสู่เซลล์พืชโดยวิธีการใช้ *Agrobacterium* ทำโดยการขจัดยีนประมวลผลฮอร์โมนพืชออกจากยีนส่วน T-DNA แล้วนำยีนที่ต้องการถ่ายโอนเข้ามาสอดแทรกแทน เมื่อยีนส่วน T-DNA สอดแทรกเข้าไปในโครโมโซมของพืช ยีนที่ต้องการถ่ายโอนก็จะถูกนำเข้าไปด้วย James และคณะ (1993) รายงานว่าอะซิโตไซริงโอน (acetosyringone) สามารถเร่งการถ่ายโอนยีนเข้าสู่เซลล์พืชโดยวิธีการใช้ *A. tumefaciens*

Akaracharanya และคณะ (2001) ทำการศึกษาการงอกใหม่ของต้นอ่อน (shoot regeneration) ของผักนึ่ง พบว่าใบเลี้ยงบริเวณโคนใบพร้อมก้านใบสามารถงอกเป็นต้นใหม่ได้ในปริมาณสูงถึง 75 เปอร์เซ็นต์ เมื่อใช้ต้นอ่อนอายุ 7 วัน และใช้ไธเดียซuron (Thidiazuron) ความเข้มข้น 10 ไมโครโมลาร์ ในการเร่งการพัฒนาเป็นต้นอ่อน ต้นอ่อนของผักนึ่งที่ได้สามารถงอกรากได้เองโดยไม่จำเป็นต้องใช้สารเร่งการงอกราก ดังนั้นงานวิจัยนี้จะใช้ *Agrobacterium tumefaciens* EHA 101 ถ่ายโอนยีนเข้า cotyledon



Hood และคณะ (1986) ได้สร้างพลาสมิดพาหะชนิดไบนารี ประกอบด้วย พลาสมิดสำหรับสร้างเป็นรีคอมบิแนนต์พลาสมิด ซึ่งมีชิ้นส่วน T-DNA และในบริเวณชิ้นส่วน T-DNA มีชิ้นส่วนต่อสารปฏิชีวนะ และพลาสมิดตัดแปลง Ti ซึ่งมีกลุ่มยีน *vir* เรียกพลาสมิดชนิดนี้ว่า pEHA101 และเรียก *A. tumefaciens* ที่มีพลาสมิด pEHA101 นี้ว่า *A. tumefaciens* EHA101 ต่อมา Kimura และคณะ (1993) ได้สร้างพลาสมิด pBIH1-IG ซึ่งเป็นพลาสมิดพาหะชนิดไบนารีชนิดที่มีชิ้นส่วน T-DNA และมีชิ้นส่วนสารปฏิชีวนะไฮโกรมัยซินและกานามัยซินอยู่ในบริเวณ T-DNA รีคอมบิแนนต์พลาสมิดที่สร้างจาก pBIH1-IG เมื่อนำมาทรานสฟอร์มเข้าสู่ *A. tumefaciens* EHA101 พบว่าทรานสฟอร์มเม้นท์ *A. tumefaciens* EHA101 ที่ได้มีประสิทธิภาพในการถ่ายโอนยีนสอดแทรกบนรีคอมบิแนนต์พลาสมิดเข้าสู่โครโมโซมของ *A. thaliana* และข้าวสูง (Hiei และคณะ, 1994)

รีคอมบิแนนต์พลาสมิด pBIH1-IG-RCS1 เป็นพลาสมิดที่มีชิ้นประมวลรหัสยีน *rcs1* ของข้าว (ยีน *rcs1*) สอดแทรกอยู่ที่ตำแหน่งเรสทริกชัน *XbaI* และ *SacI* ของพลาสมิดพาหะ pBIH1-IG ซึ่งเป็นการสอดแทรกเข้าไปแทนที่ชิ้นประมวลรหัสบีต้ากลูคูโรนิเดสในพลาสมิดพาหะ pBIH1-IG ซึ่งเป็นพลาสมิดพาหะชนิดไบนารี ได้รับมาจาก Dr. Nakamura Tatsuo, Research and Education Center for Genetic Information, Ikoma, Nara, Japan. รีคอมบิแนนต์พลาสมิด pBIH1-IG-RCS1 นี้มีชิ้นส่วนต่อสารปฏิชีวนะไฮโกรมัยซินและกานามัยซินอยู่ในบริเวณ T-DNA ยีน *rcs1* ได้มาจากการโคลนคอมพลีเมนต์ดีเอ็นเอของข้าว (*Oryza sativa* cv. Nipponbare) มีขนาด 1,290 เบส แพลรหัสเป็นกรดอะมิโน 321 ตัว โปรตีน RCS1 เป็นไอโซฟอร์มที่อยู่ในไซโตพลาสซึม (Nakamura และคณะ, 1999)

ศูนย์วิทยทรัพยากร  
จุฬาลงกรณ์มหาวิทยาลัย